



УДК 547.963.057.577.113.6

РЕАГЕНТЫ ДЛЯ НАПРАВЛЕННОЙ МОДИФИКАЦИИ БИОПОЛИМЕРОВ.

VI*. ЗАМЕШЕННЫЕ ОКСИМЫ И ГИДРАЗОН *n*-АЗИДОТЕРФОРБЕНЗАЛЬДЕГИДА. СИНТЕЗ, СПЕКТРАЛЬНЫЕ СВОЙСТВА, ПРЯМОЙ И СЕНСИБИЛИЗИРОВАННЫЙ ФОТОЛИЗ

© 1996 г. М. И. Добриков[#], Р. Ю. Дудко, Г. В. Шишкин

Новосибирский институт биоорганической химии СО РАН,
630090, Новосибирск, просп. Акад. Лаврентьева, 8

Поступила в редакцию 20.03.95 г. После доработки 10.10.95 г.

Осуществлен синтез новых гетеробифункциональных реагентов – O-[(сукинимидо-N-окси)карбонилметил]-*n*-азидотетрафторбензальдоксимида (I), гидрохлорида O-(4-аминобутил)-*n*-азидотетрафторбензальдоксимида (II), гидрохлорида N-(3-аминопропионил)-*n*-азидотетрафторбензальдоксимида (III) и O-(N-*n*-бутилкарбамоилметил)-*n*-азидотетрафторбензальдоксимида (IV). Исследован фотолиз полученных реагентов в этаноле при разных длинах волн и в пиридине. По спектральным характеристикам и фотоактивности соединения (I)–(III) представляют собой перспективные гетеробифункциональные реагенты для введения фотоактивных групп в биополимеры. Исследована синглет-синглетная сенсибилизация фотолиза гидразона (III) 9-аминоакридином и показана возможность создания на его основе фотореагентов, чувствительных к видимому свету.

Ключевые слова: *перфторарomaticкие азиды, сенсибилизация, фотолиз, фотомодификация нуклеиновых кислот.*

Для изучения комплементарно-адресованной фотомодификации ДНК ранее были синтезированы гетеробифункциональные реагенты на основе производных *n*-азидобензойной, 2-нитро-5-азидобензойной и *n*-азидотетрафторбензойной кислот [2], которые при фотолизе образуют продукты реакций преимущественно кетенимина [3, 4], триплетного [5, 6] и синглетного нитрена [7, 8] соответственно.

В работах [9–12] была исследована комплементарно-адресованная фотомодификация ДНК этими фотореагентами, присоединенными к олигонуклеотидам-адресам, и было показано, что тип модификации, ее эффективность и селективность по отношению к разным нуклеозидам ДНК-мишени зависят от заместителей в бензольном кольце арилазидной группы.

Наиболее перспективными фотореагентами оказались олигонуклеотиды, несущие *n*-азидотетрафторбензамидные группы, для которых эффективность достигает 70–80% при наличии гуаницина в точке предполагаемой фотомодифика-

ции ДНК-мишени. Существенным недостатком этих производных является то, что введение в *n*-азидобензоильный остаток четырех атомов фтора вызывает гипсохромный сдвиг максимума поглощения с 271 до 251 нм [9]*, т.е. к тому диапазону длин волн, где поглощают белки и нуклеиновые кислоты, что создает технические сложности для описания и характеристики полученных на их основе конъюгатов. И хотя фотоактивность перфторированных арилазидов настолько велика, что, как правило, их фотолиз успевает закончиться раньше, чем начнут повреждаться биополимеры [13], совпадение спектров биополимера-мишени и фотореагента приводит к поглощению основной части подводимого света биполимером, что делает эти реагенты малопригодными для изучения сложных биологических систем (белково-нуклеиновые комплексы, органеллы клеток и т.д.).

В связи с этим возникла необходимость получить новые гетеробифункциональные реагенты на основе перфторированных ароматических азидов, поглощающие в более длинноволновой части спектра и обладающие более высокой фотоактивностью.

Сокращения: HOSu – N-гидроксисукинимид, S – синглетный нитрен, YS – илид синглетного нитрена с пиридином, Pyr – пиридин.

* Сообщение V см. [1].

[#] Автор для переписки.

* В статье [9] по вине авторов допущена ошибка: в табл. 4 вместо N_3Ar_2NHR следует читать $RNH(CH_2)_3CH_3$.

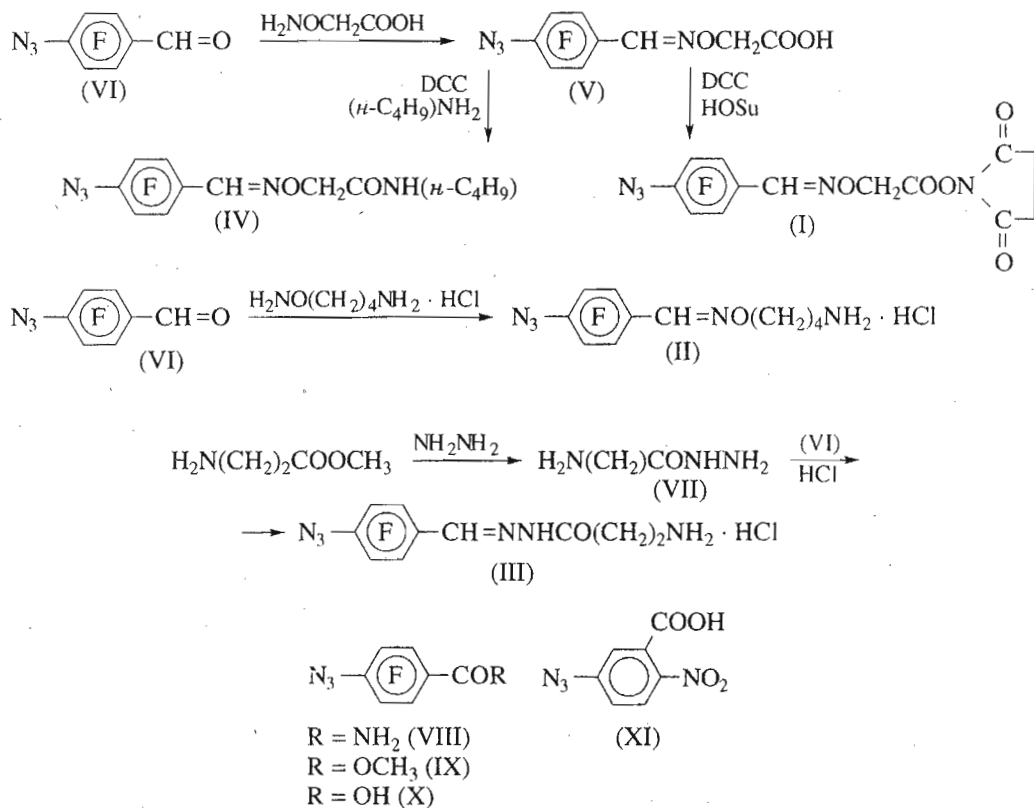


Схема 1.

В данной работе описан синтез трех новых гетеробифункциональных реагентов: O-[(сукцинимидо-N-окси)карбонилметил]-*n*-азидотетрафторбензальдоксима (I), гидрохлорида O-(4-аминобутил)-*n*-азидотетрафторбензальдоксима (II), гидрохлорида N-(3-аминопропионил)-*n*-азидотетрафторбензальгидразона (III), пригодных для присоединения к олигонуклеотидам по концевому фосфату (реагенты (II), (III)) и по заранее введенной по концевому фосфату или в гетероциклическое основание аминогруппе (реагент (I)). Кроме того, описан O-(N-*n*-бутилкарбамоилметил)-*n*-азидотетрафторбензальдоксим (IV), который моделирует продукт присоединения фотопроявляющего агента (I) к биополимерам.

Методы синтеза азидов (I)–(IV) представлены на схеме 1. Фотопроявляющий агент (I) был получен при обработке O-(карбоксиметил)-*n*-азидотетрафторбензальдоксима (V) DCC и N-гидрокисукцинидом, а модельное соединение (IV) – обработкой того же исходного (V) *n*-бутиламином в присутствии DCC. Промежуточное соединение (V) выделено в результате конденсации O-карбоксиметилгидроксиламина с *n*-азидотетрафторбензальдегидом (VI). Конденсация хлоргидрата O-(4-аминобутил)гидроксиламина с азидом (VI) привела к фотопроявляющему агенту (II). Обработкой метилового эфира β-аланина гидразингидратом был получен гидразид (VII), при конденсации которого с азидом (VI) был синтези-

рован фотопроявляющий агент (III). Строение всех синтезированных соединений доказано элементным анализом, ¹H-ЯМР-, ИК- и УФ-спектроскопией.

Для вновь синтезированных соединений (I)–(V) облучением при разных длинах волн была изучена спектральная светочувствительность в этаноле. В качестве параметра относительной фотоактивности этих соединений использовано время полупотолиза ($\tau_{1/2}$), т.е. время, за которое концентрация исходного азода уменьшается в 2 раза. В таблице результаты сопоставлены с данными для амида *n*-азидотетрафторбензойной кислоты (VIII), полученного как описано в работе [13], и для исходного *n*-азидотетрафторбензальдегида, который, как показано в [14], является высокоэффективным реагентом для фотоиммобилизации ферментов. Такое сопоставление подтверждает, что синтезированным реагентам (I), (II), (IV), (V) и особенно соединению (III) свойственны достаточно большие батохромные сдвиги (на 32–34 и 51 нм соответственно) максимумов полос поглощения относительно амида (VIII). Еще большие сдвиги наблюдаются относительно исходного азода (VI), вероятно, потому, что последний в этаноле находится в форме полуацетала. Кроме того, следует отметить значительный гиперхромный (в 1.5–2 раза) эффект для всех производных азода (VI). Наблюдаемые спектральные различия обусловливают

Спектральные характеристики и время полуфотолиза ($\tau_{1/2}$) перфторированных ароматических азидов в этаноле

Соединение	$\lambda_{\text{макс}}$, нм	$\epsilon, M^{-1} \text{cm}^{-1}$	$\tau_{1/2}$ (с) при облучении светом с интервалом длин волн, нм			
			254–400	303–365	303–313	334–365
(I), (IV)	287	26000	6	45	120	3600
(II), (V)	289	31000	5	23	150	2000
(III)	306	35500	6	15	80	420
(VI)*	251	15000	6	30	500	8000
(VIII)	255	18000	30	150	5400	9000

* Вероятнее всего, находится в виде полуацетала.

существенное увеличение фотоактивности полученных азидов по сравнению с амидом (VIII), особенно при облучении УФ-светом с длиной волны 303–313 нм: $\tau_{1/2}$ для оксимов (II) и (V) в 36 раз, для оксимов (I) и (IV) в 45 раз, а для гидразона (III) в 67 раз меньше, чем для соединения (VIII); в среднем оксимо- и гидразонопроизводные (I)–(V) в 3–6 раз более фотоактивны, чем альдегид (VI) (таблица).

Таким образом, по своим спектральным характеристикам и фотоактивности соединения (I)–(III) представляют собой перспективные гетеробифункциональные реагенты для проведения комплементарно-адресованной фотомодификации нуклеиновых кислот.

Известно, что основной процесс, протекающий при фотолизе пентафтрафенилазида [15], 2,6-дифторфенилазида [16] и метилового эфира *n*-азидотетрафторбензойной кислоты (IX) [8, 16] в пиридине, приводит к образованию илида YS из синглетного нитрена-S (схема 2). Стабильный аддукт YS легко и избирательно регистрируется благодаря характерному поглощению в районе 400 нм.

Мы считаем, что фотолиз в пиридине с образованием илида YS можно рассматривать как упрощенную модель электрофильной реакции фотомодификации нуклеиновых кислот внутри комплементарного комплекса, так как наиболее нуклеофильные центры в нуклеиновых кислотах – атомы азота гетероциклических оснований пиридинового типа (N7 и N3 в dG; N1, N3 и N7 в dA; N3 в dC), а низкая молекулярная масса и высокая растворимость пиридина позволяют создавать концентрации нуклеофилов, близкие к локальным концентрациям реакционных центров внутри комплементарного комплекса. В связи с этим была исследована кинетика фотолиза в пиридине полученных и некоторых описанных в литературе перфторароматических азидов.

На рис. 1 представлена кинетика накопления илидов YS при облучении светом с длиной волны 303–313 нм перфторароматических азидов (II)–(VI), а также известных *n*-азидотетрафторбензойной кислоты (X) и ее метилового эфира (IX) [13] в пи-

ридине. Время окончания темновой реакции образования YS оценивали по выходу изменений оптической плотности при 400 нм на плато при сохранении изобистических точек. При этом полагали, что 100% исходного азида в этих условиях превращается в соответствующий илид YS. Правомерность такого допущения вытекает из сопоставления кинетических параметров фотолиза азида (IX) с приведенными в литературе [16], из близости коэффициентов экстинкции в максимумах поглощения в районе 400 нм всех образующихся илидов YS, а также из данных тонкослойной хроматографии реакционных смесей.

Из рис. 1 видно, что реакция перфторарилазидов (II)–(VI) практически заканчивается в течение 15 мин, в то время как нарастание концентрации YS для азида (IX) продолжается более 2 ч, т.е. описанные в данной работе азиды в использованных условиях существенно более фотоактивны, чем известный азид (IX). Скорость образования илидов сильно зависит от заместителя в *para*-положении к азидогруппе. Введение более электроноакцепторной $-\text{COOCH}_3$ -группы в азиде (IX) (кривая 2) вместо $-\text{COO}^-$ в азиде (X) (кривая 1) в 2 раза увеличивает скорость образования соответствующего илида. Если карбоксильная группа не сопряжена с азидогруппой, как в азидах (IV) и (V) (кривые 5 и 4), то наблюдается та же зависимость, но эффект заместителя значительно меньше. Увеличение цепи сопряжения в оксимах (II), (IV) и (V) (кривые 6, 4, 5 соответственно) и гидразоне (III) (кривая 3) по сравнению с соединением (IX) вызывает еще более резкое увеличение скорости образования таких илидов: в 7 раз для азидов (III) и (VI), в 8 раз для кислоты (V), в 12 раз для амида (II) и в 15 раз для амида (IV). Следует отметить,

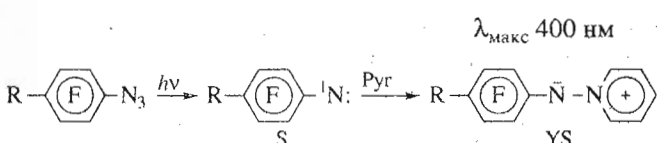


Схема 2.

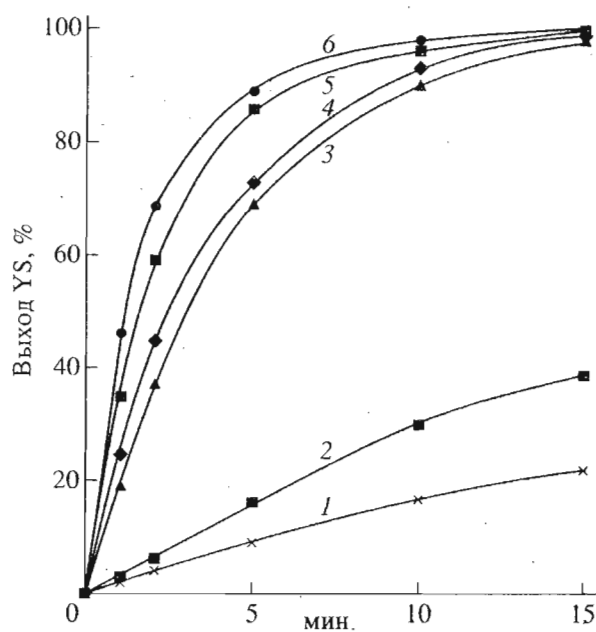


Рис. 1. Кинетика накопления илидов YS при облучении в пиридине перфторароматических азидов УФ-светом с интервалом длин волн 303–313 нм: 1 – (X), 2 – (IX), 3 – (III), (VI), 4 – (V), 5 – (IV), 6 – (II).

что скорость накопления илида, образующегося из гидразона (III) (кривая 3) и обладающего самым длинноволновым спектром поглощения и наибольшей фотоактивностью в этаноле, находится на уровне таковой для исходного альдегида (VI) и значительно уступает скорости накопления илидов, возникающих из оксимов (II), (IV) и (V).

По данным пиридин-илидного метода, все вновь синтезированные азиды по кинетическим параметрам фотолиза значительно превосходят *n*-азидотетрафторбензойную кислоту (X) и ее метиловый эфир (IX) и поэтому могут быть перспективными фотореагентами для модификации нуклеиновых кислот. Однако, учитывая кинетические характеристики фотореакций этих азидов с пиридином, можно заключить, что для эффективной комплементарно-адресованной фотомодификации нуклеиновых кислот более предпочтительны олигонуклеотидные производные оксимов (II) и (V).

Для возможного смещения спектральной светочувствительности перфторированных ароматических азидов в видимую область мы рассмотрели сенсибилизацию фотолиза азидов красителями. В литературе [15] описана триплет-триплетная сенсибилизация пентафторфенилазида 4-бензоилбифенилом. Такая сенсибилизация несколько расширяет область спектральной светочувствительности, но малопригодна для модификации нуклеиновых кислот, так как генерируемые при этом триплетные нитрены обладают сравнительно низ-

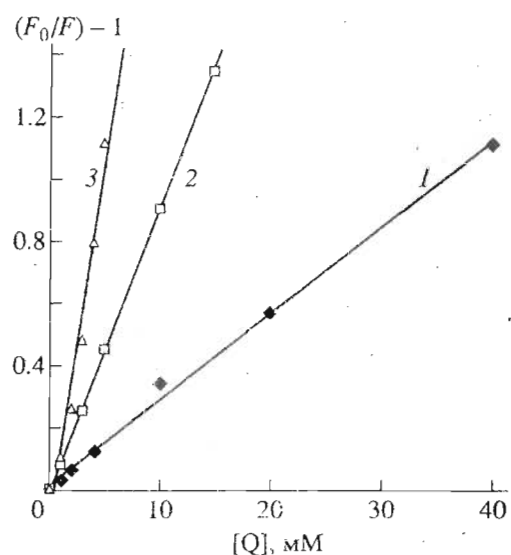


Рис. 2. Тушение флуоресценции 5 мкМ раствора гидрохлорида 9-аминоакридина в этаноле перфторароматическими азидами. Зависимость величины $(F_0/F - 1)$ от концентрации тушителя $[Q]$. $\lambda_{\text{возб}} = 400 \pm 3 \text{ нм}$; $\lambda_{\text{исп}} = 450 \pm 3 \text{ нм}$; F_0 и F – интенсивность флуоресценции в отсутствие и присутствии тушителя. 1 – (IX), 2 – (IV), 3 – (III).

кой реакционной способностью по отношению к нуклеиновым кислотам [9].

Синглет-синглетная сенсибилизация, основанная на безызлучательном переносе энергии возбужденного состояния донора к акцептору, более перспективна. Среди известных флуоресцентных красителей, способных к синглет-синглетной передаче энергии, для исследования нами выбран 9-аминоакридин [17]. Для оценки тушения флуоресценции этого соединения как характеристики возможности переноса энергии от донора к акцептору мы применили уравнение Штерна-Фольмера [18]:

$$F_0/F = 1 + K_{\text{каж}} \cdot [Q],$$

где F_0 и F – интенсивность флуоресценции в отсутствие и присутствии тушителя соответственно; $[Q]$ – концентрация тушителя; $K_{\text{каж}}$ – кажущаяся константа тушения.

Исходя из данных по тушению флуоресценции 9-аминоакридина в этанольном растворе различными перфторароматическими азидами (рис. 2) по уравнению Штерна-Фольмера оценили величину $K_{\text{каж}}$: для эфира (IX) 25 M^{-1} , для оксима (IV) 90 M^{-1} и для гидразона (III) 190 M^{-1} . Увеличение $K_{\text{каж}}$ коррелирует с батохромным сдвигом этих азидов.

Из изученных перфторарилазидов тушение флуоресценции более эффективно осуществляется гидразоном (III), и в связи с этим нами исследован сенсибилизованный 9-аминоакридином к

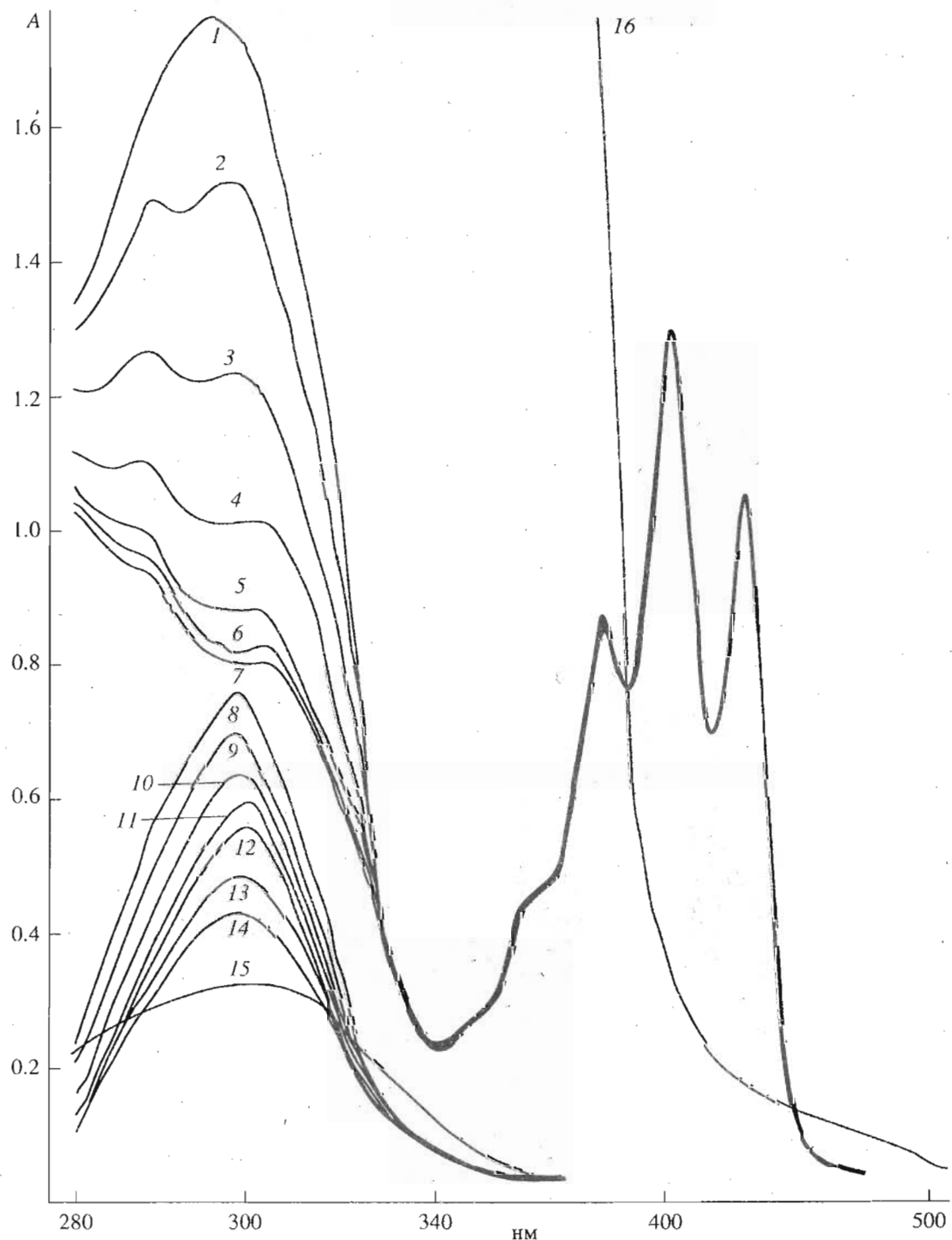


Рис. 3. Прямой (8–15) и сенсибилизированный гидрохлоридом 9-аминоакридина (1–7) фотолиз гидразона (III) в метаноле при облучении видимым светом $>400 \text{ нм}$. Показаны спектры поглощения в зависимости от времени облучения (мин): 1, 8 – 0; 2 – 20; 3 – 60; 4 – 120; 5 – 180; 6 – 240; 7 – 300; 9 – 60; 10 – 120; 11 – 240; 12 – 300; 13 – 400; 14 – 600; 15 – 1000. Кривая 16 – поглощение светофильтра ЖС-10 ($>400 \text{ нм}$).

видимому свету фотолиз гидразона (III) и 2-нитро-5-азидобензойной кислоты (XI), обладающих близкими спектральными свойствами. Полученные данные (рис. 3, 4) свидетельствуют о том, что при облучении видимым светом скорость фотолиза ги-

дразона (III) значительно возрастает при сенсибилизации, а для арилазида (XI) несколько падает.

Оценка времен полуфотолиза показала, что $t_{1/2}$ сенсибилизированного фотолиза соединения (III) уменьшилось в 7 раз по сравнению с прямым

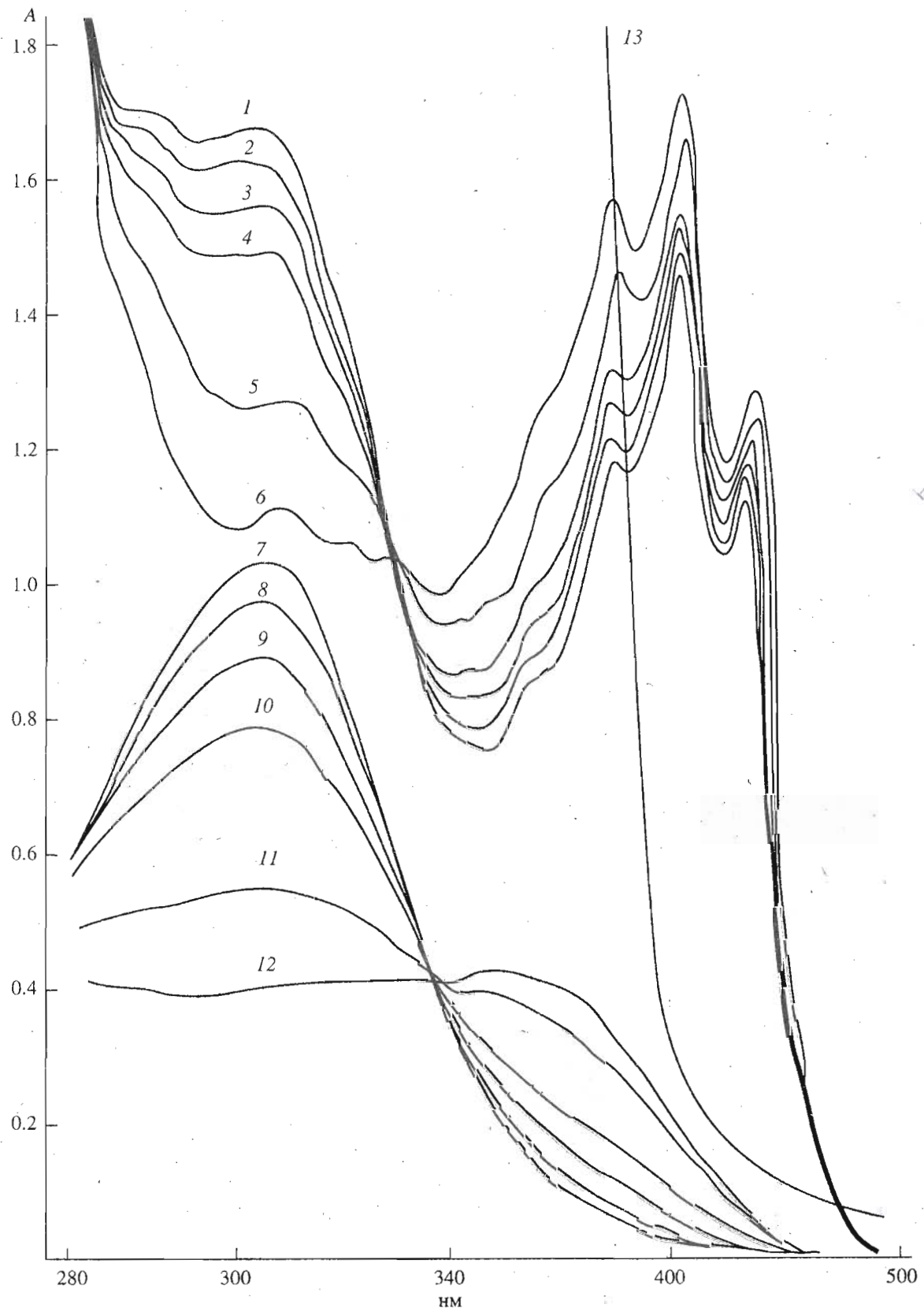


Рис. 4. Прямой (7–12) и сенсибилизированный гидрохлоридом 9-аминоакридина (1–6) фотолиз арилазида (XI) в метаноле при облучении видимым светом >400 нм. Показаны спектры поглощения в зависимости от времени облучения (мин): 1, 7 – 0; 2, 8 – 5; 3, 9 – 15; 4, 10 – 30; 5, 11 – 90; 6, 12 – 270. Кривая 13 – поглощение светофильтра ЖС-10.

фотолизом, в то время как для арилазида (XI) $\tau_{1/2}$ увеличилось в 1.5 раза, т.е. перфторарилазиды более склонны к сенсибилизации, чем нефтотирированные азида. Различное поведение, вероятно, связано с сильными акцепторными свойствами атомов фтора.

Ускорение сенсибилизированного фотолиза (III) при комплементарно-адресованной фотомодификации нуклеиновых кислот может быть значительно больше, так как эффективность переноса энергии зависит от расстояния между донором и акцептором, т.е. от их концентрации, а в представленных экспериментах использовались низкие спектрофотометрические концентрации (8×10^{-5} M), которые значительно ниже локальных концентраций реакционных центров в комплементарных комплексах.

Полученные результаты показывают возможность и перспективность использования сенсибилизации перфторарилазидов для разработки фотогенераторов, чувствительных к видимому свету, для фотомодификации нуклеиновых кислот, и работа в этом направлении в настоящее время нами проводится.

ЭКСПЕРИМЕНТАЛЬНАЯ ЧАСТЬ

В работе использовали гидрохлорид метилового эфира β -аланина, семигидрохлорид O-(карбоксиметил)гидроксиламина и N-гидроксисукцинимид (Fluka AG, Швейцария); *n*-азидотетрафторбензальдегид (VI) был получен как описано ранее [19], а хлоргидрат O-(4-аминобутил)гидроксиламина – как описано в работе [20].

Запись ^1H -ЯМР-спектров проводили на спектрометре Bruker WP-200-SY (Bruker, ФРГ), УФ-спектров – на спектрофотометре Specord M40 (Carl Zeiss, ГДР), ИК-спектров в таблетках KBr на приборе Specord M80 (Carl Zeiss, ГДР). Спектры флуоресценции для растворов в этаноле записывали на спектрофлуориметре Hitachi MPF-4.

ТСХ выполняли на пластинах Silufol UV-VIS в следующих системах: этанол–хлороформ, 1 : 10 (A); диоксан–бензол, 1 : 9 (B); этанол–25% аммиак, 6 : 4 (B).

Фотохимические свойства азидов изучали, облучая образцы неконденсированным светом ртутной лампы высокого давления ДРК-120 осветителя ОИ-18А (ЛОМО, Санкт-Петербург), фильтрованным следующими наборами стеклянных светофильтров (λ , нм; W , Вт cm^{-2}): УФС-5 (254–400; 5×10^{-4}); БС-12, УФС-1 (303–365; 3×10^{-4}); БС-6, УФС-6 (334–365; 2×10^{-4}); ЖС-3, УФС-2 (303–313; 1×10^{-4}) и ЖС-10 (>400; 1×10^{-3}). Мощность излучения лампы (W) на разных длинах волн определяли с помощью ферриоксалатного актинометра [21].

O-(Карбоксиметил)-*n*-азидотетрафторбензальдоксим (V). Раствор 545 мг (5 ммоль) семигидрохлорида O-(карбоксиметил)гидроксиламина в 10 мл 50% метанола медленно прибавляли по каплям к раствору 1100 мг (5 ммоль) *n*-азидотетрафторбензальдегида (VI) в 3 мл метанола. Выдерживали 30 мин, отфильтровывали выпавший белый осадок соединения (V), промывали его 50% метанолом (2×1 мл) и 1 мл воды. Осадок высушивали в вакууме в затененном месте. Получили 1315 мг (90%) азида (V), т. пл. 148–149°C (с разл.), R_f 0.6–0.7 (A). Спектр ПМР (в $\text{DMF}-d_7$), δ , м. д.: 8.70 (1H, с, $\text{CH}=\text{N}$); 5.11 (2H, с, $\text{O}-\text{CH}_2-\text{C}=\text{O}$). ИК-спектр (в KBr), v , cm^{-1} : 3040 сл. (CH), 2930 сл. (CH_2), 2200 и 2130 с. (N_3), 1730 с. ($\text{HOC}=\text{O}$), 1650 ср. ($\text{C}=\text{NO}$), 1495 и 1470 с. (аром. $\text{C}=\text{C}$), 1250 с. ($\text{O}-\text{CH}_2$), 990 с. ($\text{C}-\text{F}$). УФ-спектр, $\lambda_{\text{макс}}$, нм (ϵ): 212 (7000), 289 (31000). Найдено, %: C 36.9; H 1.64. $\text{C}_9\text{H}_4\text{F}_4\text{N}_4\text{O}_3$. Вычислено, %: C 36.9; H 1.56.

O-[(Сукцинимидо-N-окси)карбонилметил]-*n*-азидотетрафторбензальдоксим (I). В 5 мл сухого DMF последовательно растворяли 403 мг (2 ммоль) DCC, через 1 ч 365 мг (1.25 ммоль) соединения (V) и 145 мг (1.27 ммоль) HOSu. Через 1 ч реакционную смесь помещали в холодильник и выдерживали 24 ч. Осадок дициклогексилмочевины отфильтровывали, фильтрат упаривали досуха. Продукт перекристаллизовывали из 12 мл смеси гексан–хлороформ (2 : 1) и высушивали в вакууме. Получали 312 мг (64%) азида (II), т. пл. 94–96°C, R_f 0.67–0.75 (B). Спектр ^1H -ЯМР (в CDCl_3), δ , м. д.: 8.28 (1H, с, $\text{Ar}-\text{CH}=\text{N}$); 5.09 (2H, с, $\text{O}-\text{CH}_2-\text{C}=\text{O}$); 2.84 (4H, м, $(\text{CH}_2)_2$). ИК-спектр, v , cm^{-1} : 2925 сл. (CH_2), 2175 и 2125 с. (N_3), 1825 с. ($\text{NO}=\text{O}$), 1790 с. ($\text{ONC}=\text{O}$), 1650 ср. ($\text{C}=\text{NO}$), 1480 и 1495 с. (аром. $\text{C}=\text{C}$), 1240 с. ($\text{O}-\text{CH}_2$), 995 с. ($\text{C}-\text{F}$). УФ-спектр, $\lambda_{\text{макс}}$, нм (ϵ): 208 (15000), 287 (26000). Найдено, %: C 39.7; H 1.72; N 18.2. $\text{C}_{13}\text{H}_7\text{F}_4\text{N}_5\text{O}_5$. Вычислено, %: C 40.1; H 1.81; N 18.0.

O-(N-*n*-Бутилкарбамоилметил)-*n*-азидотетрафторбензальдоксим (IV). Растворяли 130 мг (0.7 ммоль) DCC в 2 мл сухого DMF, через 1 ч прибавляли 154 мг (0.5 ммоль) соединения (V) и 53 мкл (0.53 ммоль) *n*-бутиламина. Через 1 ч перемешивания реакционную смесь помещали в холодильник (-5°C). Через 24 ч осадок дициклогексилмочевины отфильтровывали, фильтрат упаривали, в остаток прибавляли 5 мл диэтилового эфира и помещали в холодильник. Через 72 ч осадок амида (IV) отфильтровывали, промывали 2 раза по 0.5 мл эфира и высушивали в вакууме. Получили 106 мг (60%) азида (IV), R_f 0.77 (B). Спектр ^1H -ЯМР (в CDCl_3), δ , м. д.: 8.27 (1H, с, $\text{Ar}-\text{CH}=\text{N}-\text{O}$); 4.86 (2H, с, $\text{O}-\text{CH}_2-\text{C}=\text{O}$); 2.85 (2H, м, $\text{CH}_2-\text{NH}-\text{CO}$); 1.79 (4H, м, $(\text{CH}_2)_2$); 0.88 (3H, м, CH_3). ИК-спектр, v , cm^{-1} : 3440 сл. ($\text{N}-\text{H}$); 2940 с. ($\text{C}-\text{H}_2$); 2140 с. (N_3);

1700 с. ($\text{NC}=\text{O}$); 1650 с. ($\text{C}=\text{NO}$); 1480 с. (аром. $\text{C}=\text{C}$); 1240 с. ($\text{O}-\text{CH}_2$); 1010 с. ($\text{C}-\text{F}$). УФ-спектр, $\lambda_{\text{макс}}$, нм (ϵ): 208 (11500), 287 (26000).

Гидрохлорид О-(4-аминобутил)-*n*-азидотетрафторбензальдоксима (II). К раствору 525 мг (3 ммоль) дигидрохлорида 4-аминобутил-О-гидроксиламина в 1.5 мл воды прибавляли последовательно 3.5 мл метанола и медленно раствор *n*-азидотетрафторбензальдегида в 2 мл метанола. Через 15 мин к реакционной смеси прибавляли 3 мл воды и помещали в холодильник на 2 ч. Раствор фильтровали и фильтрат упаривали досуха. Остаток растворяли в 20 мл хлороформа и осаждали 7 мл эфира. Осадок продукта (II) отфильтровывали, перекристаллизовывали из хлороформа и высушивали в вакууме в затененном месте. Получали 615 мг (45%) азода (II), R_f 0.83 (А). Спектр ^1H -ЯМР (в CDCl_3), δ , м. д.: 8.38 (3Н, шир. с., $-\text{NH}_3^+$); 8.13 (1Н, с., $\text{Ar}-\text{CH}=\text{NO}$); 4.24 (2Н, м, $\text{CH}_2-\text{NH}_3^+$); 3.05 (2Н, м, CH_2-O); 1.86 (4Н, м, $(\text{CH}_2)_2$). ИК-спектр, ν , cm^{-1} : 2930 сп. (CH_2); 2170 и 2120 с. (N_3); 1640 сл. ($\text{C}=\text{N}$); 1480 и 1450 с. (аром. $\text{C}=\text{C}$). УФ-спектр (в воде), $\lambda_{\text{макс}}$, нм (ϵ): 209 (9000), 289 (31500). Найдено, %: С 38.5; Н 3.54; N 20.7. $\text{C}_{11}\text{H}_{12}\text{ClF}_4\text{N}_5\text{O}$. Вычислено, %: С 38.6; Н 3.54; N 20.5.

Дигидрохлорид 3-аминопропионильтиогидразида (VII). Раствор 280 мг (2 ммоль) гидрохлорида метилового эфира β -аланина в 1 мл 30% гидразингидрата в этаноле нагревали на водяной бане 2.5 ч при 70°C. Реакционную смесь наносили на колонку (1 × 20 см) с силикагелем, промывали 20 мл смеси этанол – 25% аммиак (9 : 1), а затем элюировали смесью этанол – 25% аммиак (6 : 4). Фракции, содержащие гидразид (VII), улавливали при 40°C. К остатку прибавляли 7 мл 0.5 М HCl и упаривали досуха. Продукт перекристаллизовывали из 12 мл 80% этанола. Получили 150 мг (47%) гидразида (VII), R_f 0.27 (В), т. пл. 220–224°C (с разл.). Литературные данные: т. пл. 222–224°C [22]. Спектр ^1H -ЯМР (в D_2O), δ , м. д.: 3.28 (2Н, т, J 6.5 Гц, $\text{C}-\text{CH}_2-\text{N}^+$); 2.74 (2Н, т, J 6.5 Гц, $\text{C}-\text{CH}_2-\text{C}=\text{O}$). ИК-спектр, ν , cm^{-1} : 3000 с. (CH_2); 1680 с. ($\text{NC}=\text{O}$); 1590 сп. ($\text{OCN}-\text{H}$); 1510 с. ($\text{OC}-\text{NH}$).

Гидрохлорид N-(3-аминопропионил)-*n*-азидотетрафторбензальгидразона (III). К раствору 122 мг (0.7 ммоль) гидразида (VII) в 800 мкл 50% этанола прибавляли раствор 154 мг (0.7 ммоль) *n*-азидотетрафторбензальдегида в 1.2 мл этанола. Через 1–2 мин начинал выпадать обильный белый осадок. Через 10 мин реакционную смесь помещали в холодильник (-5°C). Через 24 ч осадок (III) отфильтровывали, промывали 2 раза по 200 мкл холодного этанола и высушивали в вакууме в затененном месте. Получили 165 мг (75%) азода (III), R_f 0.85 (Б). Спектр ^1H -ЯМР (в D_2O), δ , м. д.: 8.16 и

8.00 (1Н, с, $\text{Ar}-\text{CH}=\text{N}$); 3.29 (2Н, т, J 7.0 Гц, $\text{CH}_2-\text{NH}_3^+$); 2.77 (2Н, т, J 7.0 Гц, $\text{NCO}-\text{CH}_2$). ИК-спектр, ν , cm^{-1} : 3440 сл. (N–H); 3060 сл. (аром. C–H); 2980 сп. (CH_2); 2140 с. (N_3); 1680 с. ($\text{NC}=\text{O}$); 1585 с. (аром. $\text{C}=\text{C}$); 1395 сп. ($\text{CO}-\text{NH}$); 1005 сп. ($\text{C}-\text{F}$). УФ-спектр, $\lambda_{\text{макс}}$, нм (ϵ): 207 (11000); 307 (35500). Найдено, %: С 35.5; Н 2.59; N 24.6. $\text{C}_{10}\text{H}_9\text{ClF}_4\text{N}_6\text{O}$. Вычислено, %: С 35.3; Н 2.66; N 24.7.

Фотолиз арилазидов. Изучение спектральной светочувствительности проводили облучением этанольных растворов арилазидов при разных длинах волн. Концентрации всех азидов составляли 0.1–0.05 мМ. Фотолиз в пиридине осуществляли при концентрации азидов 0.2 мМ с использованием светофильтров ЖС-3, УФС-2 в кюветах толщиной 0.1 см. Сенсибилизированный гидрохлоридом 9-аминоакридина фотолиз проводили в метаноле при облучении через светофильтр ЖС-10, концентрации компонентов 0.08 мМ. Фотореагенты облучали до прекращения изменений в спектре электронного поглощения или до резкого нарушения изобистических точек. Время полуфотолиза ($t_{1/2}$) оценивали по изменению оптической плотности при $\lambda_{\text{макс}}$ в зависимости от времени облучения.

Настоящая работа поддержана Международным научным фондом (Фонд Сороса) (грант № RCU 300) и грантом Государственной научно-технической программы "Новейшие методы биоинженерии" (направление "Ген-направленные биологически активные вещества", проект 2, грант № 6).

СПИСОК ЛИТЕРАТУРЫ

- Галь А.А., Иванова Т.М., Шишкин Г.В. // Сиб. хим. журн. 1991. Вып. 4. С. 27–31.
- Добриков М.И., Приходько Т.А., Сафонов И.В., Шишкин Г.В. // Сиб. хим. журн. 1992. Вып. 2. С. 18–23.
- Purvis R., Smalley R.K., Strachan W.A., Suschitzky H. // J. Chem. Soc., Perkin Trans. I. 1978. P. 191–195.
- Грицац Н.Р., Притчина Е.А. // Успехи химии. 1992. Т. 61. С. 910–939.
- Починок А.В., Починок В.Л., Авраменко А.Д., Кондратенко Р.А., Скопенко В.Н., Нагорный В.Н., Чубисова Н.П. // Укр. хим. журн. 1979. Т. 45. С. 1204–1211.
- Keana J.F.W., Cai S.X. // J. Org. Chem. 1990. V. 55: P. 3640–3645.
- Saundararajan N., Platz M.S. // J. Org. Chem. 1990. V. 55. P. 2034–2044.
- Schnapp K.A., Poe R., Leyva E., Saundararajan N., Platz M.S. // Bioconjugate Chem. 1993. V. 4. P. 172–177.
- Добриков М.И., Зарытова В.Ф., Комарова Н.И., Левина А.С., Лохов С.А., Приходько Т.А., Шишкин Г.В., Табатадзе Д.Р., Заалишвили М.М. // Биоорганическая химия. 1992. Т. 18. С. 540–549.

10. Добриков М.И., Горн В.В., Зарытова В.Ф., Левина А.С., Приходько Т.А., Шишкин Г.В., Табатадзе Д.Р., Заалишвили М.М. // Биоорган. химия. 1992. Т. 18. С. 1190–1196.
11. Левина А.С., Табатадзе Д.Р., Зарытова В.Ф., Добриков М.И., Горн В.В., Халимская Л.М., Шишкин Г.В. // Биоорган. химия. 1994. Т. 20. С. 21–29.
12. Левина А.С., Табатадзе Д.Р., Зарытова В.Ф., Добриков М.И., Горн В.В. // Биоорган. химия. 1994. Т. 20. С. 30–39.
13. Keana J.F.W., Cai S.X. // J. Org. Chem. 1990. V. 55. P. 3640–3647.
14. Добриков М.И., Шишкин Г.В. // Изв. СО АН СССР. Сер. хим. наук. 1990. Вып. 6. С. 50–57.
15. Poe R., Schnapp K., Young M.J.T., Grayzar J., Platz M.S. // J. Amer. Chem. Soc. 1992. V. 114. P. 5054–5067.
16. Schnapp K.A., Platz M.S. // Bioconjugate Chem. 1993. V. 4. P. 178–183.
17. Nielsen P.E., Jeppesen C., Egholm M., Buchardt O. // Nucl. Acids Res. 1988. V. 16. P. 3877–3888.
18. Лакович Дж. // Основы флуоресцентной спектроскопии: Пер. с англ. М.: Мир, 1986. С. 262–344.
19. Михалина Т.В., Фокин Е.П. // Изв. СО АН СССР. Сер. хим. наук. 1988. Вып. 3. С. 92–95.
20. Адаричев В.А., Дымшиц Г.М., Калачиков С.М., Поздняков П.И. // Биоорган. химия. 1987. Т. 13. С. 1066–1069.
21. Калверт Дж., Питтс Дж. Фотохимия: Пер. с англ. М.: Мир, 1968. С. 625–627.
22. Yale H.L., Losee K., Martins J., Holsing M., Perry F.M., Bernstein J. // J. Amer. Chem. Soc. 1953. V. 75. P. 1933–1942.

Reagents for Directed Modification of Biopolymers. VI.¹ Substituted Oximes and Hydrazone of *p*-Azidotetrafluorobenzaldehyde: Synthesis, Spectral Properties, and Direct and Sensitized Photolysis

M. I. Dobrikov,² R. Yu. Dudko, and G. V. Shishkin

Novosibirsk Institute of Bioorganic Chemistry, Siberian Division, Russian Academy of Sciences,
pr. Akademika Lavrent'eva 8, Novosibirsk, 630090 Russia

Abstract—New heterobifunctional reagents *O*-[(succinimido-*N*-oxy)carbonylmethyl]-*p*-azidotetrafluorobenzaldoxime (**I**), *O*-(4-aminobutyl)-*p*-azidotetrafluorobenzaldoxime hydrochloride (**II**), *N*-(3-aminopropionyl)-*p*-azidotetrafluorobenzalhydrazone hydrochloride (**III**), and *O*-(*N*-*n*-butylcarbamoylmethyl)-*p*-azidotetrafluorobenzaldoxime (**IV**) were synthesized. Photolysis of the reagents in ethanol and pyridine at various wavelengths was studied. In spectral characteristics and photoreactivity, compounds (**I**)–(**III**) are promising heterobifunctional reagents for introducing photoreactive groups into biopolymers. The singlet–singlet sensitization of photolysis of hydrazone (**III**) with 9-aminoacridine was studied, and the possibility of producing photoreagents sensitive to visible light was shown.

Key words: perfluoroaromatic azides; sensitization; photolysis; nucleic acids, photomodification.

¹ For communication V, see [1].

² To whom correspondence should be addressed.